



**WYDZIAŁ  
ELEKTROTECHNIKI  
I INFORMATYKI**  
POLITECHNIKI RZESZOWSKIEJ

## **Sztuczna Inteligencja**

### **Projekt**

Temat: Zrealizować sieć neuronową uczoną algorytmem wstecznej propagacji błędu z przyśpieszeniem metodą adaptacyjnego współczynnika uczenia (trainbpa) uczącą się rozpoznawanie rodzaju wina

**Szymon Kmiec**

2EF-DI, P2

Rzeszów, 2022



# Spis treści

<b>1. Opis problemu</b>	<b>5</b>
<b>2. Specyfikacja danych</b>	<b>6</b>
2.1. Normalizacja danych	7
<b>3. Zagadnienia teoretyczne</b>	<b>8</b>
3.1. Model sztucznego neuronu	8
3.2. Sieć jednokierunkowa wielowarstwowa	10
3.3. Uczenie sieci algorytmem wstecznej propagacji błędów	11
3.4. Adaptacyjny współczynnik uczenia	13
<b>4. Algorytm</b>	<b>14</b>
<b>5. Eksperymenty</b>	<b>18</b>
5.1. Eksperyment 1 - badanie wpływu $S1$ i $S2$ na szybkość uczenia sieci	18
5.1.1. Badania dla 1000 epok	19
5.1.2. Badania dla 2000 epok	20
5.2. Eksperyment 2 - badanie parametrów $lr_{inc}$ oraz $lr_{dec}$	21
5.2.1. Badania dla $S1 = 17, S2 = 7$	22
5.2.2. Badania dla $S1 = 17, S2 = 15$	23
5.3. Eksperyment 3 - badanie parametru $er$	24
<b>6. Podsumowanie i wnioski końcowe</b>	<b>25</b>
<b>Literatura</b>	<b>26</b>



## 1. Opis problemu

Głównym celem projektu było zaprojektowanie oraz implementacja sieci neuronowej służącej do rozpoznawania gatunku wina. Do tego celu użyto własnej implementacji sieci neuronowej w języku Python 3.10.5 uczonej algorytmem wstecznej propagacji błędów. Jako metodę przyspieszenia uczenia użyto adaptacyjnego współczynnika uczenia. W ramach projektu zbadano wpływ następujących parametrów na szybkość uczenia się sieci:

- S1 - liczba neuronów w pierwszej warstwie sieci
- S2 - liczba neuronów w drugiej warstwie sieci
- lr - współczynnik uczenia sieci
- er - współczynnik maksymalnego dopuszczalnego przyrostu błędów, oznaczany również jako MAX\_PERF\_INC
- lr<sub>dec</sub> - modyfikator współczynnika uczenia w przypadku przekroczenia maksymalnego dopuszczalnego przyrostu błędów
- lr<sub>inc</sub> - modyfikator współczynnika uczenia w przypadku spadku błędów

Opis problemu oraz wykorzystane w projekcie dane zostały przedstawione na stronie [1]

## 2. Specyfikacja danych

Dane pobrane z wspomnianej powyżej strony zawierały 178 wierszy danych, z których to każdy posiadał 14 atrybutów (w tym atrybut klasowy). Dane są wynikiem analizy chemicznej win uprawianych w tym samym regionie Włoch, ale pochodzących z trzech różnych odmian. Badany zestaw danych nie zawiera niekompletnych rekordów, oraz wartości niepoprawnych. W zbiorze danych pierwszy atrybut określa rodzaj wina - opisany liczbą całkowitą 1, 2, 3, natomiast pozostałe 13 atrybutów to

- (Alcohol) - Procentowa zawartość alkoholu (wartość ciągła)
- (Malic acid) - Procentowa zawartość kwasu jabłkowego (wartość ciągła)
- (Ash) - Zawartość popiołu (wartość ciągła)
- (Alkalinity of ash) - Zasadowość popiołu (wartość ciągła)
- (Mg) - Zawartość magnezu (wartość ciągła)
- (Total phenols) - Zawartość fenoli (wartość ciągła)
- (Flavonoids) - Flawonoidy (wartość ciągła)
- (Non Flavonoid phenols) - Fenole nieflawonoidowe (wartość ciągła)
- (Proanthocyanins) - Proantocyjanidyny (wartość ciągła)
- (Colour intensity) - Intensywność barwy (wartość ciągła)
- (Hue) - Odcień (wartość ciągła)
- (OD280/OD315) (wartość ciągła)
- (Proline) - Prolina (wartość dyskretna)

## 2.1. Normalizacja danych

W celu usprawnienia procesu uczenia dane wejściowe zostały poddane normalizacji metodą *min - max* określoną wzorem [3]:

$$f(x) = \frac{x - \min(x)}{\max(x) - \min(x)} \quad (2.1)$$

Dzięki takiej normalizacji, możliwe jest dynamiczne normalizowanie danych wejściowych do zadanego zakresu. W przypadku tego projektu został zastosowany przedział normalizacyjny  $[0, 1]$ .

```
1   for column in norm_data.columns:
2       if column !=0:
3           norm_data[column] = (norm_data[column] - norm_data[
column].min()) / (norm_data[column].max() - norm_data[column].min())
```

Listing 1: Algorytm normalizacji

Numery klas, stanowiące dane wyjściowe, zostały natomiast przekształcone przy pomocy kodowania 1 z N do postaci trójelementowego wektora, zawierającego wartość 1 na pozycji odpowiadającej danej klasie oraz wartości 0 na pozostałych pozycjach.

### 3. Zagadnienia teoretyczne

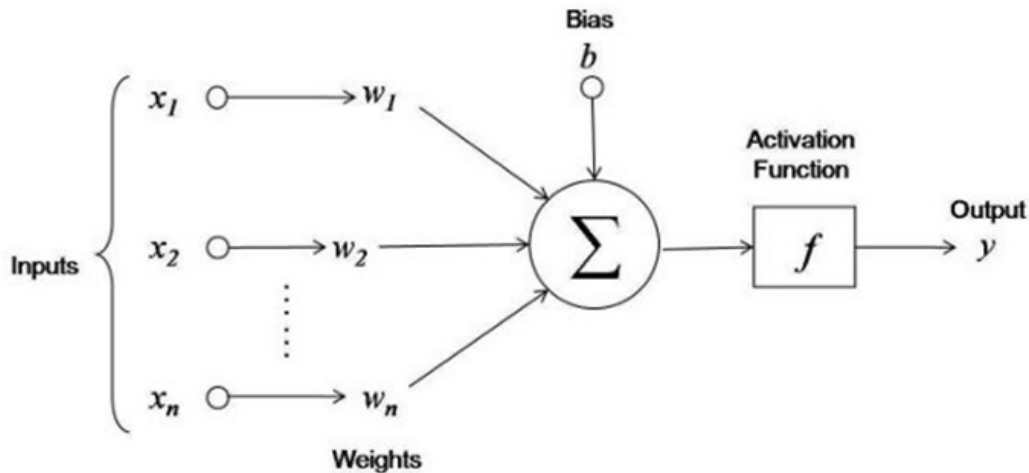
#### 3.1. Model sztucznego neuronu

Podstawowym elementem z którego zbudowane są sieci neuronowe jest pojedynczy neuron. Neuron jest jednostką która przetwarza informacje wejściowe, oraz zwraca wynik przetwarzania w postaci wartości wyjściowej.

Początkowo neuron miał co najmniej jedno wejście binarne i tylko jedno binarne wyjście. Wyjście było aktywowane, gdy osiągnięta została określona liczba wejść. W 1957 roku uczony Frank Rosenblatt zmodyfikował prosty sztuczny neuron binarny, tworząc w ten sposób perceptron, czyli jedną z najprostszych sieci neuronowych. Posiada on następującą charakterystykę [6]:

- Na wejściu i wyjściu zamiast wartości binarnych mogą być dowolne liczby
- Połączenia węzłów mają nadaną wagę
- Wartość wyjściowa w węźle składa się z dwóch części: sumy wartości z warstw poprzednich pomnożonej przez wagi oraz nałożonej na tą sumę funkcji aktywacji.

Na rysunku 3.1 sygnał przechodzi z lewej do prawej.



Rysunek 3.1: Model neuronu

Ważona suma wejść wraz z przesunięciem nazywana jest łącznym pobudzeniem neuronu i określana wzorem:

$$z = \sum_{i=1}^n (x_i \cdot w_i) + b \quad (3.2)$$



Ogólny wzór na wartość wyjścia neuronu przedstawiono równaniem 3.3

$$y = f\left(\sum_{i=1}^n (x_i \cdot w_i) + b\right) = f(z) \quad (3.3)$$

gdzie:

- $y$  - wyjście neuronu
- $f$  - funkcja aktywacji
- $n$  - ilość wejść
- $x$  - wektor wejściowy
- $w$  - wektor wag
- $b$  - bias

Ze względu na funkcję aktywacji wyróżnia się różne typy neuronów. Najczęściej stosowanymi funkcjami aktywacji neuronu są funkcje liniowe (3.4) oraz sigmoidalne (3.5 oraz 3.6).

Funkcja liniowa ma postać:

$$f(x) = a \cdot x + b \quad (3.4)$$

Funkcja sigmoidalna unipolarna:

$$f(x) = \frac{1}{1 + e^{-\beta x}} \quad (3.5)$$

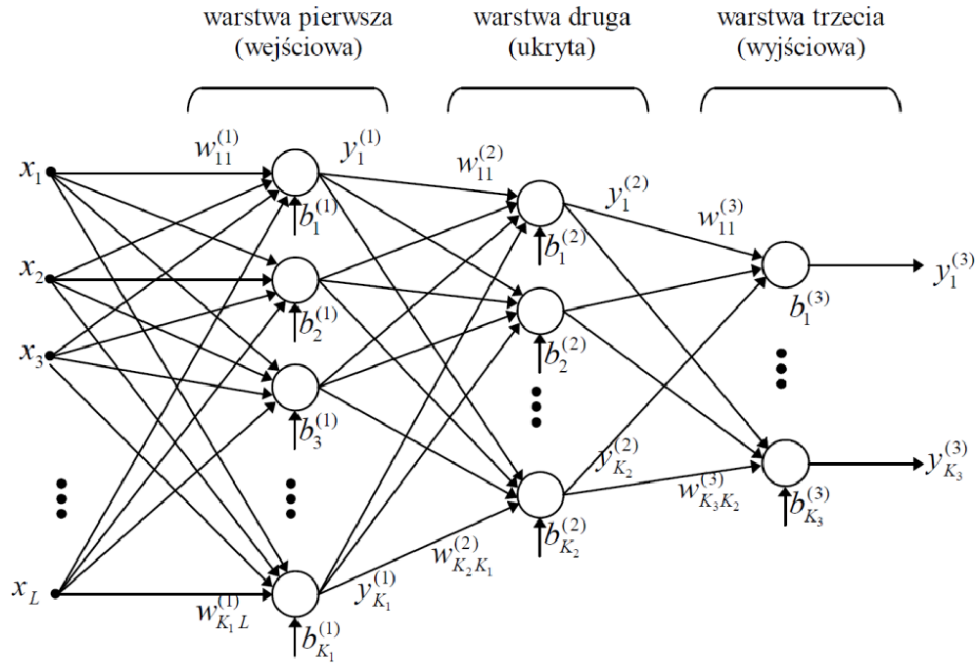
Funkcja sigmoidalna bipolarna:

$$f(x) = \frac{2}{1 + e^{-\beta x}} - 1 \quad (3.6)$$

gdzie parametr  $\beta$  określony jest z reguły w przedziale  $[0, 1]$ .

### 3.2. Sieć jednokierunkowa wielowarstwowa

Sztuczną sieć neuronową uzyskuje się łącząc ze sobą warstwy neuronów. Przykładowy model sieci wielowarstwowej pokazano na rysunku 3.2.



Rysunek 3.2: Sieć jednokierunkowa wielowarstwowa [Źródło: [5]]

Sieć taka ma zwykle strukturę obejmującą:

- warstwę wejściową
- co najmniej jedną warstwę ukrytą (złożoną z neuronów sigmoidalnych)
- warstwę wyjściową (złożoną z neuronów sigmoidalnych lub liniowych)

Każda warstwa posiada:

- Macierz wag neuronów -  $\mathbf{w}$
- Wektor przesunięć -  $\mathbf{b}$
- Wektor sygnałów wyjściowych -  $\mathbf{y}$

Działanie poszczególnych warstw sieci opisane jest wzorami:

$$\begin{aligned} y^{(1)} &= f^{(1)}(w^{(1)}x + b^{(1)}) \\ y^{(2)} &= f^{(2)}(w^{(2)}y^{(1)} + b^{(2)}) \\ y^{(3)} &= f^{(3)}(w^{(3)}y^{(2)} + b^{(3)}) \end{aligned} \quad (3.7)$$

Zatem działanie całej trójwarstwowej sieci można zapisać jako:

$$y^{(3)} = f^{(3)} \left( w^{(3)} f^{(2)} \left( w^{(2)} f^{(1)} \left( w^{(1)} x + b^{(1)} \right) + b^{(2)} \right) + b^{(3)} \right) \quad (3.8)$$

### 3.3. Uczenie sieci algorytmem wstecznej propagacji błędu

Algorytm wstecznej propagacji błędu dominuje wśród metod uczenia sieci jednokierunkowych. Opiera się on na koncepcji poprawiania na każdym kroku procesu uczenia wartości korekty wag na podstawie oceny błędu popełnionego przez każdy neuron podczas uczenia sieci [7].

Do zastosowania algorytmu wstecznej propagacji błędu, wymagane jest, aby funkcje aktywacji neuronów były różniczkowalne, co pozwala na wyznaczenie pochodnej błędu po danych wyjściowych. Dla każdej pary  $(x, \hat{y})$  sieć popełnia błąd, który można zdefiniować następująco:

$$e = y - \hat{y} \quad (3.9)$$

Celem uczenia sieci jest zminimalizowanie sumarycznego błędu kwadratowego, wyrażonego jako suma kwadratów błędów dla K neuronów w warstwie wyjściowej.

$$E = \frac{1}{2} \sum_{j=1}^K e_j^2 \quad (3.10)$$

W przypadku sieci z rysunku 3.2 funkcja 3.10 po uwzględnieniu zależności 3.7 przyjmie postać:

$$\begin{aligned} E &= \frac{1}{2} \sum_{i_3=1}^{K_3} e_{i_3}^2 = \frac{1}{2} \sum_{i_3=1}^{K_3} \left( y_{i_3}^{(3)} - \hat{y}_{i_3} \right)^2 = \\ &= \frac{1}{2} \sum_{i_3=1}^{K_3} \left( f^{(3)} \left( \sum_{i_2=1}^{K_2} w_{i_3 j_2}^{(3)} y_{i_2} + b_{i_3}^{(3)} \right) - \hat{y}_{i_3} \right)^2 = \\ &= \frac{1}{2} \sum_{i_3=1}^{K_3} \left( f^{(3)} \left( \sum_{i_2=1}^{K_2} w_{i_3 j_2}^{(3)} f^{(2)} \left( \sum_{i_1=1}^{K_1} w_{i_2 j_1}^{(2)} y_{i_1} + b_{i_2}^{(2)} \right) + b_{i_3}^{(3)} \right) - \hat{y}_{i_3} \right)^2 = \\ &= \frac{1}{2} \sum_{i_3=1}^{K_3} \left( f^{(3)} \left( \sum_{i_2=1}^{K_2} w_{i_3 j_2}^{(3)} f^{(2)} \left( \sum_{i_1=1}^{K_1} w_{i_2 j_1}^{(2)} f^{(1)} \left( \sum_{j=1}^L w_{i_1 j}^{(1)} x_j + b_{i_1}^{(1)} \right) + b_{i_2}^{(2)} \right) + b_{i_3}^{(3)} \right) - \hat{y}_{i_3} \right)^2 \end{aligned} \quad (3.11)$$

Zminimalizowanie błędu 3.10 osiąga się poprzez zmianę biasów neuronów oraz wag ich połączeń. Kolejna wartość wagi połączenia jest wyznaczana na podstawie pochodnej cząstkowej błędu po wartości tejże wagi w obecnym cyklu nauczania. W podobny sposób wyznaczana jest również nowa wartość biasu dla każdego z neuronów. Otrzymaną pochodną mnoży się przez współczynnik uczenia  $\eta$ , który również może zmieniać się podczas procesu uczenia sieci. Wagę dla  $k + 1$  kroku otrzymać można w następujący sposób:

$$w_{ij}(k+1) = w_{ij}(k) - \eta \frac{\partial E}{\partial w_{ij}(k)} \quad (3.12)$$

Zatem zmiany wag obliczane są ze wzoru:

$$\Delta w_{ij} = -\eta \frac{\partial E}{\partial w_{ij}} \quad (3.13)$$

Obliczanie wag neuronów rozpoczyna się od warstwy wyjściowej:

$$\frac{\partial E}{\partial w_{i_3 i_2}^{(3)}} = \frac{\partial E}{\partial f^{(3)}} \frac{\partial f^{(3)}(z_{i_3}^{(3)})}{\partial z_{i_3}^{(3)}} \frac{\partial z_{i_3}^{(3)}}{\partial w_{i_3 i_2}^{(3)}} = (y_{i_3} - \hat{y}_{i_3}) \frac{\partial f^{(3)}(z_{i_3}^{(3)})}{\partial z_{i_3}^{(3)}} y_{i_2}^{(2)} \quad (3.14)$$

Podobnie można obliczyć elementy gradientu względem wag warstwy ukrytej

$$\begin{aligned}\frac{\partial E}{\partial w_{i_2 i_1}^{(2)}} &= \frac{\partial E}{\partial f^{(3)}} \frac{\partial f^{(3)}(z_{i_3}^{(3)})}{\partial z_{i_3}^{(3)}} \frac{\partial z_{i_3}^{(3)}}{\partial f^{(2)}} \frac{\partial f^{(2)}(z_{i_2}^{(2)})}{\partial z_{i_2}^{(2)}} \frac{\partial z_{i_2}^{(2)}}{\partial w_{i_2 i_1}^{(2)}} = \\ &= \sum_{i_3=1}^{K_3} (y_{i_3} - \hat{y}_{i_3}) \frac{\partial f^{(3)}(z_{i_3}^{(3)})}{\partial z_{i_3}^{(3)}} w_{i_3 i_2}^{(3)} \frac{\partial f^{(2)}(z_{i_2}^{(2)})}{\partial z_{i_2}^{(2)}} y_{i_1}^{(1)}\end{aligned}\quad (3.15)$$

Oraz dla warstwy wejściowej

$$\begin{aligned}\frac{\partial E}{\partial w_{i_1 j}^{(1)}} &= \frac{\partial E}{\partial f^{(3)}} \frac{\partial f^{(3)}(z_{i_3}^{(3)})}{\partial z_{i_3}^{(3)}} \frac{\partial z_{i_3}^{(3)}}{\partial f^{(2)}} \frac{\partial f^{(2)}(z_{i_2}^{(2)})}{\partial z_{i_2}^{(2)}} \frac{\partial z_{i_2}^{(2)}}{\partial f^{(1)}} \frac{\partial f^{(1)}(z_{i_1}^{(1)})}{\partial z_{i_1}^{(1)}} \frac{\partial z_{i_1}^{(1)}}{\partial w_{i_1 j}^{(1)}} = \\ &= \sum_{i_3=1}^{K_3} (y_{i_3} - \hat{y}_{i_3}) \frac{\partial f^{(3)}(z_{i_3}^{(3)})}{\partial z_{i_3}^{(3)}} \sum_{i_2=1}^{K_2} w_{i_3 i_2}^{(3)} \frac{\partial f^{(2)}(z_{i_2}^{(2)})}{\partial z_{i_2}^{(2)}} w_{i_2 i_1}^{(2)} \frac{\partial f^{(1)}(z_{i_1}^{(1)})}{\partial z_{i_1}^{(1)}} x_j\end{aligned}\quad (3.16)$$

### 3.4. Adaptacyjny współczynnik uczenia

Algorytm wstecznej propagacji błędów jest dość czasochłonny. W celu przyspieszenia procesu uczenia sieci korzysta się z metod pozwalających na jego przyspieszenie. Jedną z nich jest metoda adaptacyjnej korekty współczynnika uczenia. Decyzję o zmianie podejmuje się na podstawie porównania błędów kwadratowych z jego wartością uzyskaną w poprzednim cyklu nauczania. Kolejną wartość  $\eta$  otrzymuje się na podstawie następującej zależności:

$$\eta(t+1) = \begin{cases} \eta(t)\xi_d & \text{gdy } SSE(t) > er \cdot SSE(t-1) \\ \eta(t)\xi_i & \text{gdy } SSE(t) < SSE(t-1) \\ \eta(t) & \text{gdy } SSE(t-1) \leq SSE(t) \leq er \cdot SSE(t-1) \end{cases}\quad (3.17)$$

gdzie:

- $er$  - dopuszczalna krotność przyrostu błędów
- $\xi_d$  - współczynnik zmniejszania wartości współczynnika uczenia
- $\xi_i$  - współczynnik zwiększania wartości współczynnika uczenia

## 4. Algorytm

Na potrzeby realizacji projektu zaimplementowano w języku Python algorytm pozwalający na uczenie dowolnej sieci neuronowej algorytmem wstecznej propagacji błędu, wraz z przyspieszeniem metodą adaptacyjnego współczynnika uczenia.

Python jest z natury językiem wolnym. Dzieje się tak, ponieważ należy do grupy języków interpretowanych. Z racji tego, implementacja sieci w samym Pythonie byłaby nieefektywna. W związku z tym do obliczeń wykorzystano moduł *numpy*. Biblioteka ta została napisana i skompilowana w języku C, dlatego wykonywanie obliczeń będzie znacznie przyspieszone. Do krosvalidacji użyto modułu *sklearn*.

Algorytm oferuje możliwość wyboru techniki aktualizacji wag:

- Wsadowa - parametry neuronów aktualizowane są dopiero po wczytaniu do sieci całego zestawu danych uczących
- Mini-batch - Zbiór danych podzielony jest na podzbiory, aktualizacja parametrów sieci następuje po zaprezentowaniu całego podzbioru

```
1 import random
2 import numpy as np
3
4
5 class Network(object):
6     """konstruktor obiektu sieci - przyjmuje jako parametr liste
7     zawierajaca liczbe wejsc, liczbe neuronow w
8     warstwach S1, S2, oraz liczbe neuronow na wyjsciui"""
9     def __init__(self, sizes, err=1.04):
10         #do ilosci warstw sieci przypisz dlugosc wektora "sizes"
11         self.num_layers = len(sizes)
12         #przypisanie wektora do zmiennej w obiekcie
13         self.sizes = sizes
14         #ustawia parametry generatora pseudolosowego
15         #aby kolejnym sieciom byly przypisywane takie same wagi
16         #i biasy
17         np.random.seed(1)
18         """inicjalizacja biasow i wag przy pomocy rozkladu
19         gaussa N(0,1) dla wszystkich warstw poza zerowa
20         (warstwa wejsciowa to nie neurony)"""
21         self.biases = [np.random.randn(y, 1) for y in sizes[1:]]
22         self.weights = [np.random.randn(y, x)
23                         for x, y in zip(sizes[:-1], sizes[1:])]
24         #maksymalny przyrost bledu
25         self.max_perf_inc = err
26
27     def feedforward(self, a):
28         #zwraca wynik sieci neuronowej dla zestawu danych "a"
29         for b, w in zip(self.biases, self.weights):
```

```

30         a = sigmoid(np.dot(w, a)+b)
31     return a
32
33     #liczenie bledu sredniokwadratowego
34     def sse(self, _test_data):
35         error=[pow(np.linalg.norm(self.feedforward(x)-y),2) for
36 (x,y) in _test_data]
37         return 0.5*sum(error)
38
39     def SGD(self, training_data, epochs, mini_batch_size, eta,
40             test_data,error_goal,inc,dec):
41         """Funkcja odpowiedzialna za proces uczenia.
42         Jako parametry przyjmuje: liste krotek (x, y)
43         gdzie x - wektor danych uczacych,
44         y - oczekiwane wyjscie sieci;
45         maksymalna liczbe epok; rozmiar podzbioru danych;
46         poczatkowy wspolczynnik uczenia; liste krotek (x, y)
47         zawierajacych dane testowe; docelowy koszt;
48         wspolczynnik przyrostu i spadku wspolczynnika uczenia"""
49         #przypisanie do zmiennej ilosci testow
50         n_test = len(test_data)
51         n = len(training_data)
52         #petla dla kazdej epoki
53         for j in range(epochs):
54             #przelosowanie zbioru uczacego
55             random.shuffle(training_data)
56             #generowanie podzbiorow
57             mini_batches = [training_data[k:k+mini_batch_size]
58                             for k in range(0, n, mini_batch_size)]
59             #obliczanie bledu dla starych parametrow
60             old_error=self.sse(test_data)
61             #kopia zapasowa wektorow z biasami i wagami
62             backup_weights = self.weights.copy()
63             backup_biases = self.biases.copy()
64             #aktualizowanie kazdego z podzbiorow
65             for mini_batch in mini_batches:
66                 self.update_mini_batch(mini_batch, eta)
67             #obliczenie bledu dla nowych wartosci bias i wag
68             new_error=self.sse(test_data)
69             #jezeli nowy blad < pozadany koszt
70             if new_error < error_goal:
71                 #obliczanie sprawnosci sieci
72                 #evaluate - liczba poprawnych dopasowan
73                 test=self.evaluate(test_data)
74                 #zamiana na wartosc procentowa
75                 test2=test/n_test*100
76                 print("Epoch {0}: , {1:.2f}%".format(j+1, test2
77
78                 return [j+1, test2]
79             #jezeli nowy blad < starego
80             elif new_error < old_error:
81                 #zwiekszenie wspolczynnika uczenia
82                 eta *= inc
83             #jezeli nowy blad > stary * max przyrost bledu
84             elif new_error > old_error * self.max_perf_inc:

```

```

84         #przywrocenie starych biasow i wag
85         self.weights = backup_weights
86         self.biases = backup_biases
87         #zmniejszenie wspolczynnika uczenia
88         eta *= dec
89     #jezeli uplynela max liczba epok
90     if j==epochs-1:
91         test=self.evaluate(test_data)
92         test2=test/n_test*100
93         print("Epoch {0}: , {1:.2f}%".format(j+1, test2
94     ))
95
96     return [j+1, test2]
97
98 def update_mini_batch(self, mini_batch, eta):
99     #Funkcja aktualizujaca wagi i biasy poprzez
100     #zastosowanie metody gradientowej i wstecznej
101     #propagacji dla danego podzioru. Jako parametry
102     #przyjmuje: liste krotek (x, y) oraz wspolczynnik uczenia
103     #generowanie macierzy zerowej dla gradientu biasow i wag
104     nabla_b = [np.zeros(b.shape) for b in self.biases]
105     nabla_w = [np.zeros(w.shape) for w in self.weights]
106
107     for x, y in mini_batch:
108         #dla kazdej pary (x, y) oblicz przyrost gradientu
109         delta_nabla_b, delta_nabla_w = self.backprop(x, y)
110         #oblicz nowy gradient
111         nabla_b = [nb+dnb for nb, dnb in zip(nabla_b,
112         delta_nabla_b)]
113         nabla_w = [nw+dnw for nw, dnw in zip(nabla_w,
114         delta_nabla_w)]
115         #obliczanie nowych wag i biasow
116         self.weights = [w-(eta/2)*nw
117         for w, nw in zip(self.weights, nabla_w)]
118         self.biases = [b-(eta/2)*nb
119         for b, nb in zip(self.biases, nabla_b)]
120
121 def backprop(self, x, y):
122     """Zwraca krotke (nabla_b, nabla_w) reprezentujaca
123     gradient funkcji kosztu"""
124     nabla_b = [np.zeros(b.shape) for b in self.biases]
125     nabla_w = [np.zeros(w.shape) for w in self.weights]
126     # feedforward
127     #
128     activation = x
129     #lista zawierajaca aktywacje wszystkich neuronow,
130     #warstwa po warstwie
131     activations = [x]
132     # lista pobudzen, warstwa po warstwie
133     zs = []
134     #obliczanie aktywacji i pobudzen
135     for b, w in zip(self.biases, self.weights):
136         z = np.dot(w, activation)+b
137         zs.append(z)
138         activation = sigmoid(z)
139         activations.append(activation)
140     #obliczanie przyrostu gradientu dla warstwy wyjsciowej

```



```

137         delta = self.cost_derivative(activations[-1], y) * \
138             sigmoid_prime(zs[-1])
139         nabla_b[-1] = delta
140         nabla_w[-1] = np.dot(delta, activations[-2].transpose())
141         #obliczanie przyrostu gradientu dla warstwy ukrytej i
142         #wejsciowej
143         for l in range(2, self.num_layers):
144             z = zs[-l]
145             sp = sigmoid_prime(z)
146             delta = np.dot(self.weights[-l+1].transpose(), delta
147         ) * sp
148             nabla_b[-l] = delta
149             nabla_w[-l] = np.dot(delta, activations[-l-1].
150         transpose())
151         return (nabla_b, nabla_w)
152
153     def evaluate(self, test_data):
154         """Zwraca liczbe poprawnie dopasowanych rekordow
155         treningowych. Jako argument przyjmuje liste krotek (x,y)
156         z danymi testowymi"""
157         """tworzy liste krotek gdzie x - indeks neuronu ktory
158         posiada najwieksza wartosc, y - oczekiwana klasa"""
159         test_results = [(np.argmax(self.feedforward(x)), np.
160         argmax(y))
161             for (x, y) in test_data]
162         #suma poprawnych dopasowan
163         return sum(int(x == y) for (x, y) in test_results)
164
165     def cost_derivative(self, output_activations, y):
166         #Funkcja zwracajaca wektor
167         #(atywacja neuronow - oczekiwane wyniki)
168         return (output_activations-y)
169
170     def sigmoid(z):
171         """Funkcja sigmoidalna"""
172         return 1.0/(1.0+np.exp(-z))
173
174     def sigmoid_prime(z):
175         """Pochodna z funkcji sigmoidalnej"""
176         return sigmoid(z)*(1-sigmoid(z))

```

Listing 2: Algorytm uczenia sieci

## 5. Eksperymenty

### 5.1. Eksperyment 1 - badanie wpływu S1 i S2 na szybkość uczenia sieci

Celem eksperymentu było znalezienie takiej kombinacji parametrów S1 oraz S2, dla której sieć osiągnie najlepszą poprawność klasyfikacji. Listing 3 przedstawia kod odpowiedzialny za tenże eksperyment. Każda instancja sieci neuronowej została zainicjalizowana takimi samymi wagami i biasami. Do przeprowadzenia eksperymentu przyjęto następujące wartości domyślne:

S1 (neurony warstwy I)	[1,20]
S2 (neurony warstwy II)	[1,20]
Learning rate	0.1
Learning rate accelerate	1.05
Learning rate decelerate	0.7
Error ratio	1.04
Stosunek wielkości zbiorów	80% : 20%
Oczekiwana wartość funkcji celu	SSE <0.25

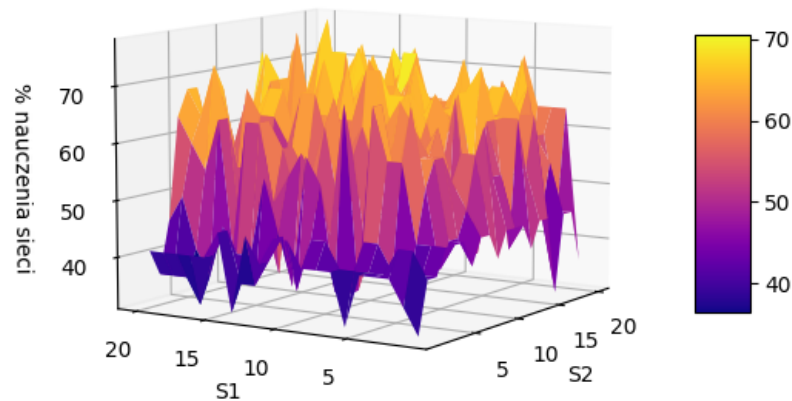
Tabela 5.1: Domyślne wartości parametrów

```
1 import network
2 from data import loadData
3 import pandas as pd
4 import numpy as np
5 trainData, testData = loadData()
6 s1_vec = np.arange(1,20.01,1,dtype=int)
7 s2_vec = np.arange(1,20.01,1,dtype=int)
8 results = []
9 for s1 in s1_vec:
10     for s2 in s2_vec:
11         result = [s1,s2]
12         net = network.Network([9, s1, s2, 6])
13         print('S1: {0}, S2: {1}'.format(s1,s2))
14         result.extend(net.SGD(trainData,2000,len(trainData),0.1,
15             testData,0.25,1.05,0.7))
16         results.append(result)
17 results=pd.DataFrame(results)
18 results.to_csv('new_results_2.csv',index=None,header=None)
```

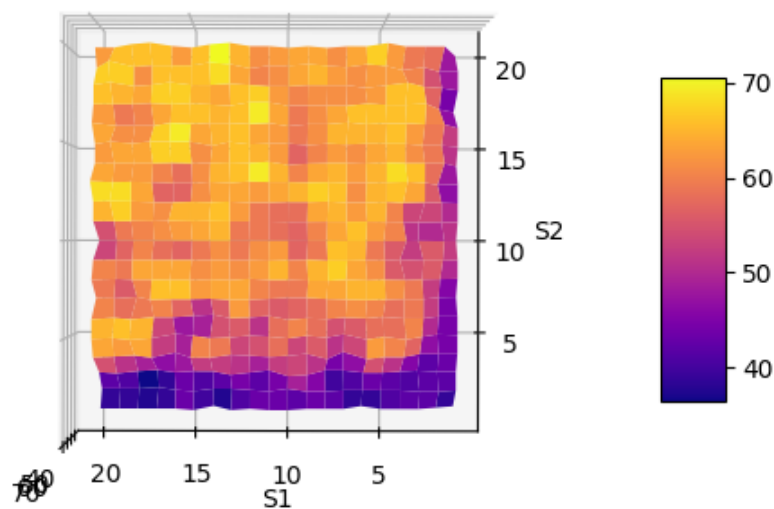
Listing 3: Algorytm realizujący eksperyment 1

### 5.1.1. Badania dla 1000 epok

Przebadane zostały liczby neuronów w obu warstwach z przedziału od 1 do 20 z krokiem co 1 neuron. Liczba epok wynosiła 1000. Pozostałe parametry ustawiono zgodnie z tabelą 5.1



Rysunek 5.3: Wykres wpływu S1, S2 na poprawność klasyfikacji (maks. 1000 epok)

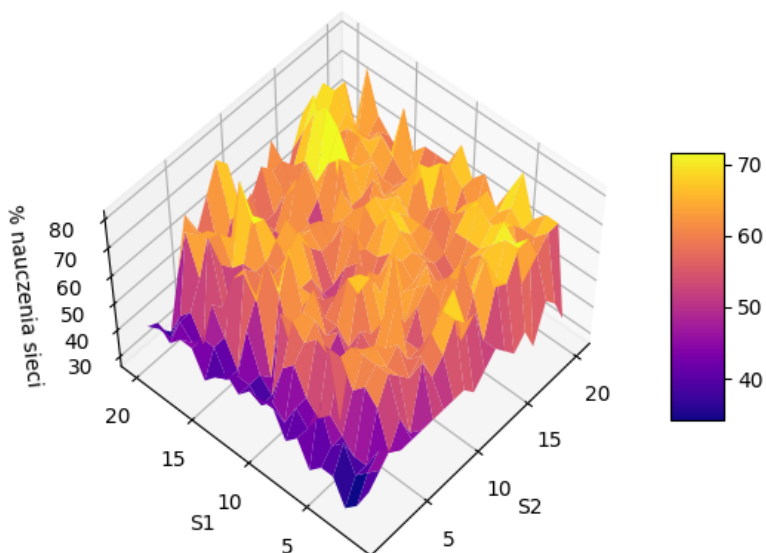


Rysunek 5.4: Wykres wpływu S1, S2 na poprawność klasyfikacji (maks. 1000 epok)

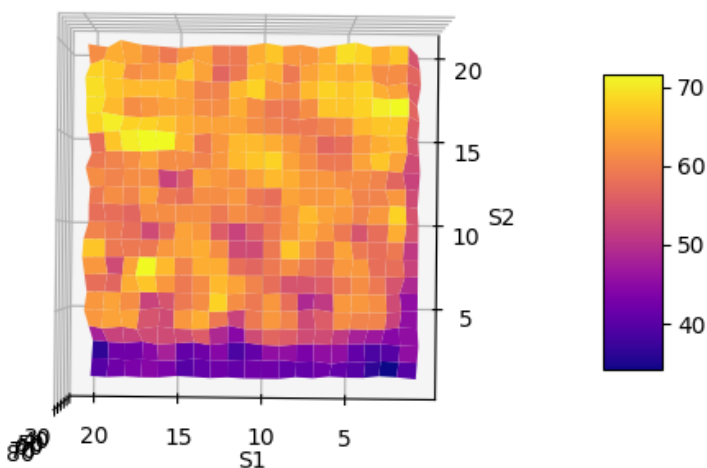
W wyniku tego eksperymentu okazało się, że dla tych parametrów sieć nie przekracza skuteczności równej 77,27%. Skuteczność tę osiąga dla 19 neuronów na warstwie I i 19 neuronów na warstwie II oraz dla 16 neuronów na warstwie I i 11 neuronów na warstwie II.

### 5.1.2. Badania dla 2000 epok

Ze względu na niezadowalające wyniki eksperymentu dla maksymalnej liczby epok równej 1000, liczba ta została zwiększona dwukrotnie. Dalsze eksperymenty przeprowadzono więc dla 2000 epok. Pozostałe parametry pozostały bez zmian.



Rysunek 5.5: Wykres wpływu S1, S2 na poprawność klasyfikacji (maks. 2000 epok)



Rysunek 5.6: Wykres wpływu S1, S2 na poprawność klasyfikacji (maks. 2000 epok)

Sieć osiąga najlepszą skuteczność równą 81,82% dla 17 neuronów na warstwie I i 7 neuronów na warstwie II oraz dla 17 neuronów na warstwie I i 15 neuronów na warstwie II. Został także przeprowadzony eksperyment dla maks. liczby epok równej 5000, jednak nie zmieniło to w żadnym stopniu skuteczności sieci.

## 5.2. Eksperyment 2 - badanie parametrów $lr_{inc}$ oraz $lr_{dec}$

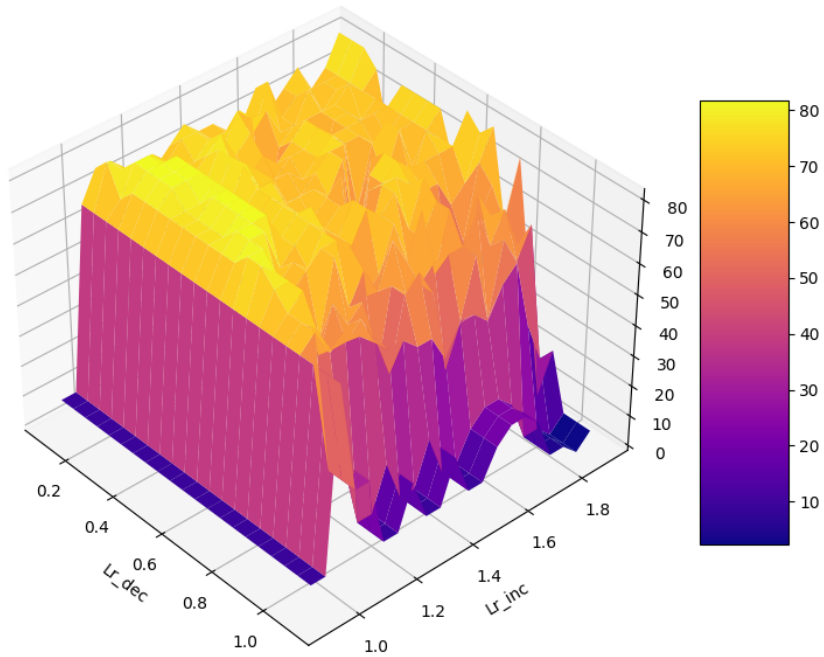
Na potrzeby eksperymentu 2 przyjęto parametry uczenia określone w tabeli 5.1, zmianie poddane zostały parametry:

- learning rate accelerate - w przedziale  $< 0.9; 1.9 >$ , ze skokiem co 0.05
- learning rate decelerate - w przedziale  $< 0.1; 1.1 >$ , ze skokiem co 0.05

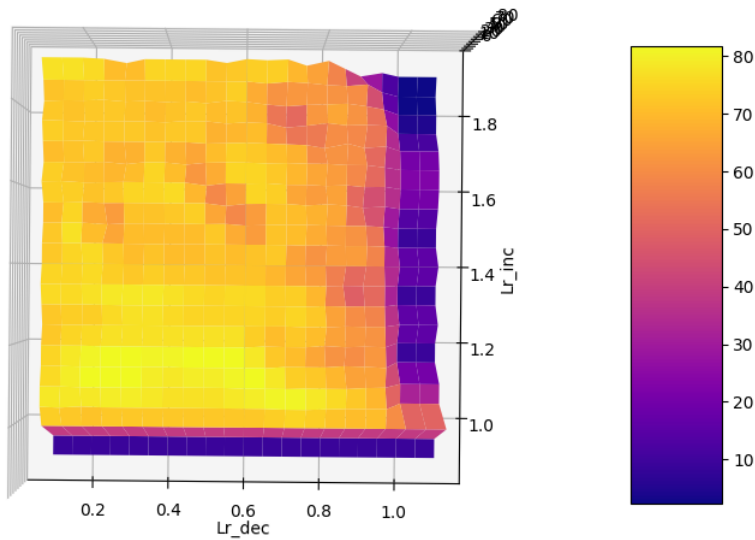
```
1 import sys
2 import network
3 from data import loadData
4 import pandas as pd
5 import numpy as np
6 from tabulate import tabulate
7 trainData, testData = loadData()
8 lr_inc_vec=np.arange(0.9,1.91,0.05)
9 lr_dec_vec=np.arange(0.1,1.11,0.05)
10 results = []
11 name=sys.argv[3]
12 name='result'+name+'.csv'
13 for lr_inc in lr_inc_vec:
14     for lr_dec in lr_dec_vec:
15         result = [lr_inc,lr_dec]
16         net = network.Network([9, int(sys.argv[1]), int(sys.argv
17 [2]), 6])
18         result.extend(net.SGD(trainData,2000,len(trainData),0.1,
19 testData,0.25,lr_inc,lr_dec))
20         results.append(result)
21 results=pd.DataFrame(results)
22 results.to_csv(name,index=None,header=None)
```

Listing 4: Algorytm realizujący eksperyment 2

### 5.2.1. Badania dla $S1 = 17$ , $S2 = 7$



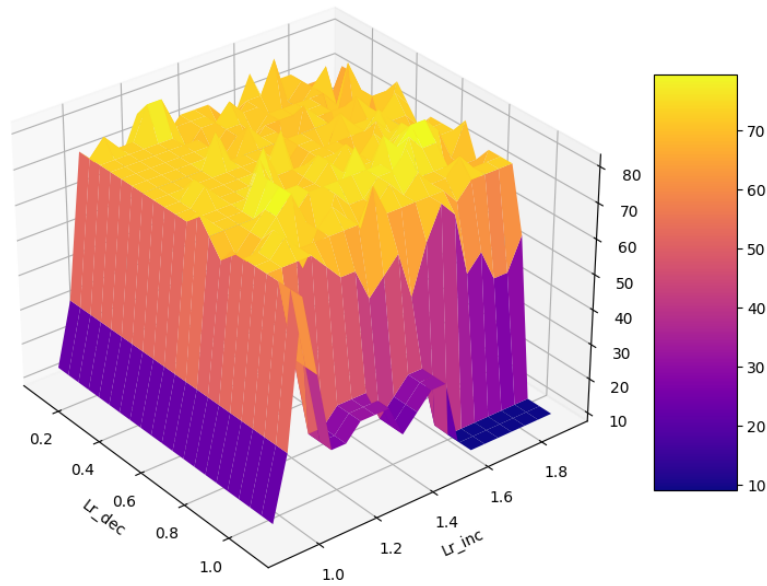
Rysunek 5.7: Zależność poprawności klasyfikacji od  $lr_{inc}$  oraz  $lr_{dec}$  dla  $S1 = 17$ ,  $S2 = 7$



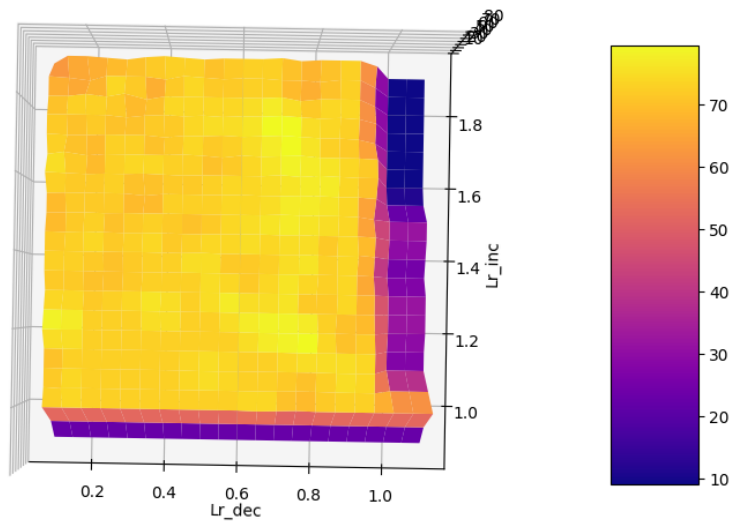
Rysunek 5.8: Zależność poprawności klasyfikacji od  $lr_{inc}$  oraz  $lr_{dec}$  dla  $S1 = 17$ ,  $S2 = 7$

Rysunki 5.7, oraz 5.8, przedstawiają powierzchnię funkcji procentowej wartości poprawności klasyfikacji w zależności od wartości parametru learning rate accelerate oraz learning rate decelerate. Dla  $S1 = 17$ ,  $S2 = 7$  największą poprawność uczenia osiągnięto dla wartości z przedziału  $lr_{inc} = [1.0; 1.1]$ , oraz  $lr_{dec} = [0.2; 0.6]$  - 81,81%. Natomiast najgorszy wynik uzyskano gdy  $lr_{inc}$  wynosił 0.9 lub  $lr_{dec}$  był większy niż 1.

### 5.2.2. Badania dla $S1 = 17, S2 = 15$



Rysunek 5.9: Zależność poprawności klasyfikacji od  $lr_{inc}$  oraz  $lr_{dec}$  dla  $S1 = 17, S2 = 15$



Rysunek 5.10: Zależność poprawności klasyfikacji od  $lr_{inc}$  oraz  $lr_{dec}$  dla  $S1=17, S2=15$

Na rysunkach 5.9, oraz 5.10 można zauważyć, że dla  $S1= 17, S2 = 15$  największą poprawność uczenia osiągnięto dla wartości  $lr_{inc} = [1.20; 1.25]$ ,  $lr_{dec} = [0.65; 0.8]$  oraz  $lr_{inc} = 1.4$ ,  $lr_{dec} = 0.9$ . Natomiast najgorsze wyniki uzyskano gdy  $lr_{inc}$  wynosił 0.9 lub  $lr_{dec}$  był większy niż 1.

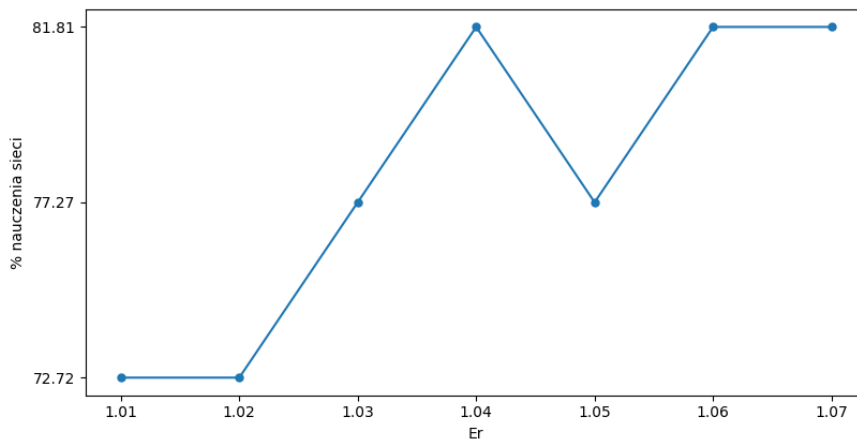
Porównując przedstawione wyżej wykresy i wartości, można wywnioskować, że sieć w parametrach  $S1= 17, S2 = 7$  jest lepiej uwarunkowana dla badanego zestawu danych.

### 5.3. Eksperyment 3 - badanie parametru $er$

W kolejnym z eksperymentów zbadano wpływ parametru  $er$  na procentową wartość nauczania sieci. Domyślnie parametr ten wynosił 1.04. Na potrzeby eksperymentu zmieniano wartość  $er$  w zakresie  $[1.01; 1.07]$ . Badania przeprowadzono dla maksymalnej liczby 2000 epok,  $lr_{inc} = 1.05$ ,  $lr_{dec} = 0.7$  oraz parametrów  $S1 = 17$ ,  $S2 = 7$ . Listing 5 przedstawia kod, którego użyto do eksperymentu.

```
1 import network
2 from data import loadData
3 import pandas as pd
4 import numpy as np
5 from tabulate import tabulate
6 trainData, testData = loadData()
7 er_ratio_vec=np.arange(1.01,1.071,0.01)
8 results = []
9 for er in er_ratio_vec:
10     result = [er]
11     net = network.Network([9, 17, 7, 6],err=er)
12     print('Er: {0}'.format(er))
13     result.extend(net.SGD(trainData,2000,len(trainData),0.1,
14         testData,0.25,1.05,0.7))
15     results.append(result)
16 results=pd.DataFrame(results)
17 results.to_csv('new_result_1.csv',index=None,header=None)
```

Listing 5: Algorytm realizujący eksperyment 3



Rysunek 5.11: Wykres wpływu parametru  $er$  na poprawność klasyfikacji

Rysunek 5.11 obrazuje wyniki wykonanego badania. Wartość domyślna parametru  $er = 1.04$  jest dobrze dobrana, ponieważ daje najwyższy wynik nauczania sieci.



## 6. Podsumowanie i wnioski końcowe

Cel projektu, tj. zrealizowanie sztucznej sieci neuronowej uczonej algorytmem wstecznej propagacji błędów z przyspieszeniem metodą adaptacyjnego współczynnika uczenia (trainbpa) uczącej się diagnozowania choroby został zrealizowany. W tym celu wykorzystano własną implementację sieci neuronowej napisanej w języku Python na podstawie książki Michaela Nielsena [2].

Zadany zbiór okazał się być zbiorem trudnym do nauczenia. Procentowa dokładność klasyfikacji nie przekraczała nigdy 81,82%.

Eksperymenty pozwoliły na określenie optymalnych wartości parametrów, dla których sieć osiąga najlepsze wyniki.

Pierwszy eksperyment polegał na dostosowaniu ilości neuronów w warstwie I i II. Wyniki eksperymentu nie były zadowalające, najlepszy wynik osiągnięty przez sieć wynosił 81,82% i został uzyskany dla maksymalnej liczby epok równej 2000 oraz parametrów  $S1 = 17$ ,  $S2 = 7$  i  $S1 = 17$ ,  $S2 = 15$ .

Celem drugiego eksperymentu było wyznaczenie optymalnych wartości parametrów  $lr_{inc}$  oraz  $lr_{dec}$ . Badanie to przeprowadzono dla najlepszych wyników otrzymanych z eksperymentu 1. Okazało się, iż istnieje wiele wartości badanych parametrów, dla których sieć uczy się dobrze. Na podstawie uzyskanych wykresów można także wywnioskować, że sieć jest lepiej uwarunkowana dla  $S1 = 17$  oraz  $S2 = 7$ .

Trzeci, ostatni eksperyment przeprowadzono w celu wyznaczenia najbardziej optymalnego parametru  $er$ . Obserwując wynik badania, można zauważyć, że sieć osiąga najlepsze wartości dla  $er = \{1.04, 1.06, 1.07\}$ .

Przeprowadzone eksperymenty pozwoliły na ustalenie optymalnych wartości parametrów, dla których sieć osiągała najlepszy wynik poprawności klasyfikacji. Badania te wykazały, że domyślne parametry z programu Matlab są najkorzystniejsze.

## Literatura

- [1] UCI Machine Learning Repository  
<https://archive.ics.uci.edu/ml/datasets/Wine> [Dostęp 14.05.2022 r.]
- [2] Michael A. Nielsen, "Neural Networks and Deep Learning", Determination Press, 2015
- [3] <http://sztuczna-inteligencja.eprace.edu.pl/1001,Funkcje-normalizacji.html> [Dostęp 14.05.2022 r.]
- [4] dr hab. inż. Roman Zajdel prof. PRz, PRz, KLiA, Sztuczna inteligencja, Laboratorium, Ćw8 Sieć jednokierunkowa jednowarstwowa  
<http://materialy.prz-rzeszow.pl/pracownik/pliki/34/sztuczna-inteligencja-cw8-siec-jednowarstw.pdf> [Dostęp 09.06.2022 r.]
- [5] dr hab. inż. Roman Zajdel prof. PRz, PRz, KLiA, Sztuczna inteligencja, Laboratorium, Ćw9 Sieć jednokierunkowa wielowarstwowa  
<http://materialy.prz-rzeszow.pl/pracownik/pliki/34/sztuczna-inteligencja-cw9-siec-wielowarstw.pdf> [Dostęp 09.06.2022 r.]
- [6] <https://mirosławmamczur.pl/czym-jest-i-jak-sie-uczy-sztuczna-siec-neuronowa/> [Dostęp 21.05.2022 r.]
- [7] R. Tadeusiewicz, M. Szaleniec „Leksykon sieci neuronowych”, Wrocław 2015